

Übungsblatt Ana 6

Computational and Data Science
FS2024

Lösungen

Mathematik 2

Lernziele:

- Sie kennen die Begriffe Schwerpunkt, Flächenschwerpunkt, Polarkoordinaten, Zylinderkoordinaten und ihre wichtigsten Eigenschaften.
- Sie können mit Hilfe der Integration den Schwerpunkt homogener Flächen und von Rotationskörpern berechnen.
- Sie können kartesische in Polarkoordinaten umwandeln und umgekehrt.

1. Schwerpunkt Rotationskörper

Bestimmen Sie den Schwerpunkt des Rotationskörpers, der durch Drehung der Funktion $f(x) = \ln x$, $1 \leq x \leq e$ um die x-Achse entsteht.

Zuerst Berechnung des Volumens des Rotationskörpers (Integral durch 2malige partielle Integration lösen – Integrand ist $1 \cdot (\ln x)^2$):

$$V_x = \pi \cdot \int_1^e (\ln x)^2 dx = \pi \left[x ((\ln x)^2 - 2 \cdot \ln x + 2) \right]_1^e = \pi (e - 2) = 2,257$$

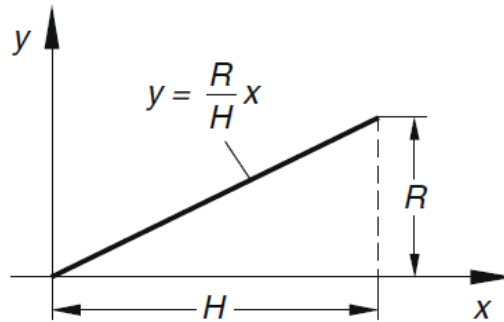
Der Schwerpunkt liegt auf der x-Achse, d. h. $y_s = 0$. Integral durch 2malige partielle Integration lösen.

$$x_s = \frac{\pi}{V_x} \cdot \int_1^e x (\ln x)^2 dx = \frac{1}{e - 2} \left[\frac{1}{2} x^2 \left((\ln x)^2 - \ln x + \frac{1}{2} \right) \right]_1^e = \frac{e^2 - 1}{4(e - 2)} = 2,224$$

2. Kreiskegel

Gegeben sei ein homogener gerader Kreiskegel mit Radius R, Höhe H und Dichte ρ . Bestimmen Sie das Volumen des Kreiskegels und seinen Schwerpunkt.

Wir legen den Kegel so ins xy-Koordinatensystem, dass die x-Achse der Symmetrieachse des Kreiskegels entspricht, seine Spitze im Ursprung des Koordinatensystems ist und der Kegel durch Rotation der Geraden $y = \frac{R}{H}x$ um die x-Achse entsteht.



Volumen:

$$V = \pi \int_0^H \left(\frac{R}{H}x\right)^2 dx = \pi \frac{R^2}{H^2} \int_0^H x^2 dx = \pi \frac{R^2}{H^2} \left[\frac{1}{3}x^3\right]_0^H = \frac{1}{3}\pi R^2 H$$

Der Schwerpunkt liegt aus Symmetriegründen auf der x-Achse ($y_s=0$):

$$\begin{aligned} x_s &= \frac{\pi}{\frac{1}{3}\pi R^2 H} \int_0^H x \left(\frac{R}{H}x\right)^2 dx = \frac{3}{R^2 H} \int_0^H x \frac{R^2}{H^2} x^2 dx = \frac{3}{R^2 H} \cdot \frac{R^2}{H^2} \int_0^H x^3 dx \\ &= \frac{3}{H^3} \left[\frac{1}{4}x^4\right]_0^H = \frac{3}{H^3} \frac{1}{4} H^4 = \frac{3}{4} H \end{aligned}$$

3. Kartesische in Polarkoordinaten

Wie lauten die Polarkoordinaten der Punkte $P_1(4;-12)$, $P_2(-3;-3)$ und $P_3(5;-4)$?
Hinweis: Fertigen Sie eine Lageskizze an.

$$P_1: r = \sqrt{160} = 12,649; \quad \varphi = 288,43^\circ; \quad P_2: r = \sqrt{18} = 4,243; \quad \varphi = 225^\circ;$$

$$P_3: r = \sqrt{41} = 6,403; \quad \varphi = 321,34^\circ$$

4. Polar- in kartesische Koordinaten

Von einem Punkt P sind die Polarkoordinaten r und φ bekannt. Wie lauten seine kartesischen Koordinaten?

$$\text{a) } r = 10, \varphi = 35^\circ \quad \text{b) } r = 3,56, \varphi = 256,5^\circ \quad \text{c) } r = 9, \varphi = 120^\circ$$

$$\text{a) } P(8,192;5,736) \quad \text{b) } P(-0,831;-3,462) \quad \text{c) } P(-4,5;7,794)$$

5. Funktionen in Polarkoordinaten umwandeln

a) Geben Sie die Gleichung für einen Kreis mit Radius 5 um den Ursprung in 2D in kartesischen und Polarkoordinaten an.

b) Gegeben ist die in Polarkoordinaten dargestellte Funktion der impliziten Funktionsgleichung $(x^2 + y^2)^2 - 2xy = 0$.

(i) Wie lautet die Funktionsgleichung in Polarkoordinaten?

(ii) Skizzieren Sie den Kurvenverlauf.

a)

Kreisgleichung um den Ursprung in kartesischen Koordinaten, allgemein:

$$x^2 + y^2 = r^2 \text{ mit } r: \text{Radius des Kreises}$$

$$\text{Hier: } r = 5 \rightarrow x^2 + y^2 = 25$$

Umwandlung in Polarkoordinaten:

mit $x = r \cos \varphi$, $y = r \sin \varphi$ ergibt sich:

$$(r \cos \varphi)^2 + (r \sin \varphi)^2 = 25$$

$$r^2 \cos^2 \varphi + r^2 \sin^2 \varphi = 25$$

$$r^2(\cos^2 \varphi + \sin^2 \varphi) = 25$$

$$r^2 = 25$$

$r = 5$ – dies stellt die Kreisgleichung in Polarkoordinaten dar.

b), (i)

$$x = r \cdot \cos \varphi; \quad y = r \cdot \sin \varphi; \quad x^2 + y^2 = r^2 \Rightarrow$$

$$(x^2 + y^2)^2 - 2xy = r^4 - 2r^2 \cdot \sin \varphi \cdot \cos \varphi = r^2(r^2 - 2 \cdot \sin \varphi \cdot \cos \varphi) = 0 \Rightarrow$$

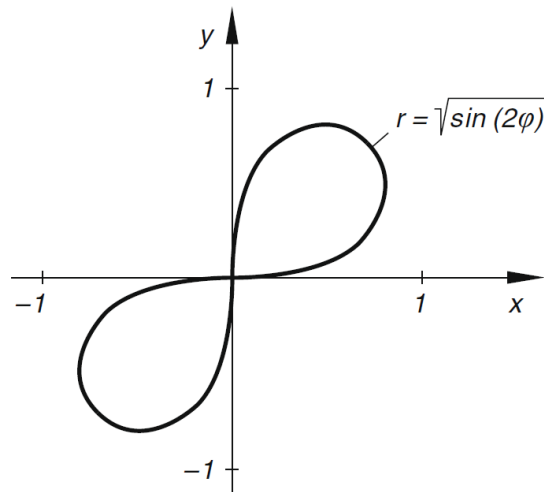
$$r^2 - 2 \cdot \sin \varphi \cdot \cos \varphi = 0 \Rightarrow r = \sqrt{\underbrace{2 \cdot \sin \varphi \cdot \cos \varphi}_{\sin(2\varphi)}} = \sqrt{\sin(2\varphi)}$$

(ii)

$r \geq 0 \Rightarrow \sin \varphi \cdot \cos \varphi \geq 0$ (beide Faktoren müssen daher *gleiches* Vorzeichen haben)

Quadrant	I	II	III	IV
sin	+	+	-	-
cos	+	-	-	+

Somit gibt es nur Punkte im 1. und 3. Quadrant



6. Funktionen in kartesische Koordinaten umwandeln

Wandeln Sie die folgenden Funktionsgleichungen in kartesische Koordinaten um.

a) $r = \frac{a}{b \cos \varphi + c \sin \varphi}, a, b, c \in \mathbb{R} \setminus \{0\}$

b) $r^2 = 2e^2 \cos(2\varphi)$

a)

mit $x = r \cos \varphi, y = r \sin \varphi, r = \sqrt{x^2 + y^2}$ ergibt sich:

$$\cos \varphi = \frac{x}{\sqrt{x^2 + y^2}}$$

$$\sin \varphi = \frac{y}{\sqrt{x^2 + y^2}}$$

Einsetzen in die Ausgangsgleichung:

$$\sqrt{x^2 + y^2} = \frac{a}{b \cdot \frac{x}{\sqrt{x^2 + y^2}} + c \cdot \frac{y}{\sqrt{x^2 + y^2}}}$$

$$\begin{aligned}\sqrt{x^2 + y^2} &= \frac{a}{\frac{bx+cy}{\sqrt{x^2+y^2}}} \\ &= \frac{a\sqrt{x^2 + y^2}}{bx + cy}\end{aligned}$$

Nun auf beiden Seiten mit $(bx + cy)$ multiplizieren und durch $\sqrt{x^2 + y^2}$ teilen ergibt:
 $bx + cy - a = 0$.

b)

Additionstheorem nutzen:

$$\begin{aligned}\cos 2\varphi &= \cos^2 \varphi - \sin^2 \varphi \\ r^2 &= 2e^2 (\cos^2 \varphi - \sin^2 \varphi)\end{aligned}$$

$$\left(\sqrt{x^2 + y^2}\right)^2 = 2e^2 \left(\frac{x^2}{\left(\sqrt{x^2 + y^2}\right)^2} - \frac{y^2}{\left(\sqrt{x^2 + y^2}\right)^2} \right)$$

$$x^2 + y^2 = 2e^2 \cdot \frac{x^2 - y^2}{x^2 + y^2}.$$

Mit $x^2 + y^2$ multiplizieren und auf eine Seite bringen:

$$(x^2 + y^2)^2 - 2e^2 (x^2 - y^2) = 0$$

Übungsblatt Ana 6

Computational and Data Science BSc
FS 2023

Lösungen

Analysis und Lineare Algebra 2

1. Aussagen über parametrisierte Flächen

Welche der folgenden Aussagen sind wahr und welche falsch?	wahr	falsch
a) Jede <i>parametrisierte Fläche</i> lässt sich als <i>Graph</i> einer <i>Funktion</i> in zwei Variablen darstellen.	<input type="radio"/>	<input checked="" type="radio"/>
b) Jeder <i>Graph</i> einer <i>Funktion</i> in zwei Variablen lässt sich als <i>parametrisierte Fläche</i> darstellen.	<input checked="" type="radio"/>	<input type="radio"/>
c) Alle <i>Sphären</i> im Raum lassen sich als <i>parametrisierte Flächen</i> darstellen.	<input checked="" type="radio"/>	<input type="radio"/>
d) Die <i>Parametrisierung</i> einer <i>parametrisierten Fläche</i> ist eine <i>Funktion</i> des Typs $\mathbf{P} : \mathbb{R}^2 \rightarrow \mathbb{R}$.	<input type="radio"/>	<input checked="" type="radio"/>
e) Die <i>Parametrisierung</i> einer <i>parametrisierten Fläche</i> ist in jedem Fall <i>injektiv</i> .	<input type="radio"/>	<input checked="" type="radio"/>
f) Die <i>Parametrisierung</i> einer <i>parametrisierten Fläche</i> ist in jedem Fall <i>surjektiv</i> .	<input type="radio"/>	<input checked="" type="radio"/>

2. Parametrisierte Flächen plotten mit Python/Numpy

Wir plotten die *parametrisierten Flächen* aus Aufgabe 3 mit Python/Numpy. Dazu implementieren wir den folgenden Code, den wir für jede Teilaufgabe modifizieren.

```
# Python initialisieren:
import matplotlib.pyplot as pl;
from mpl_toolkits import mplot3d;
import numpy as np;
# Parameter:
u_0=...; u_E=...; v_0=...; v_E=...; N_u=...; N_v=...; fig=...;
# Funktionen:
def P(u,v): x=...; y=...; z=...; return x,y,z;
# Daten:
u_data=np.linspace(u_0,u_E,N_u);
v_data=np.linspace(v_0,v_E,N_v);
[u_grid,v_grid]=np.meshgrid(u_data,v_data);
[x_grid,y_grid,z_grid]=P(u_grid,v_grid);
# Plot:
fh=pl.figure(fig); ax=pl.axes(projection='3d');
ax.plot_surface(x_grid,y_grid,z_grid,cmap='viridis');
```

```
ax.set_xlabel(r'$x$'); ax.set_ylabel(r'$y$'); ax.set_zlabel(r'$z$');
ax.set_box_aspect((np.ptp(x_grid),np.ptp(y_grid),np.ptp(z_grid)));
```

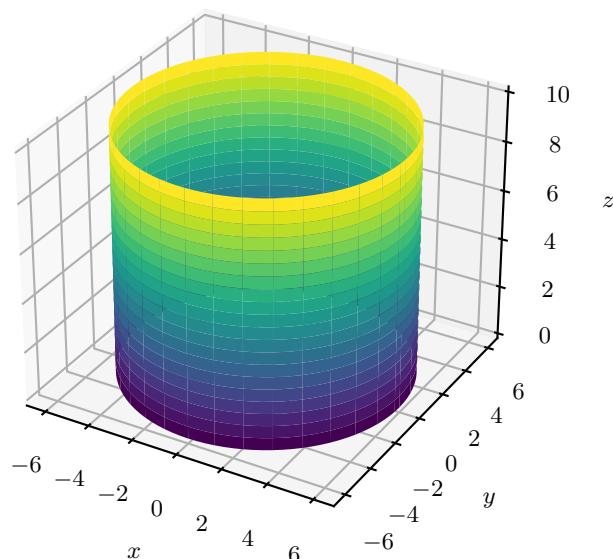
a) Wir betrachten die *parametrisierte Fläche*

$$\mathbf{P}(\varphi; z) = \begin{bmatrix} R \cdot \cos(\varphi) \\ R \cdot \sin(\varphi) \\ z \end{bmatrix} \quad \text{für } R, H > 0; \varphi \in [0, 2\pi[; z \in [0, H]. \quad (1)$$

Wir wählen die Werte $R = 6$ und $H = 10$ und modifizieren den Code.

```
# Parameter:
R=6; H=10; u_0=0; u_E=2*np.pi; v_0=0; v_E=H;
N_u=101; N_v=21; fig=1;
# Funktionen:
def P(u,v): x=R*np.cos(u); y=R*np.sin(u); z=v; return x,y,z;
```

Es wird der folgende Plot erzeugt.



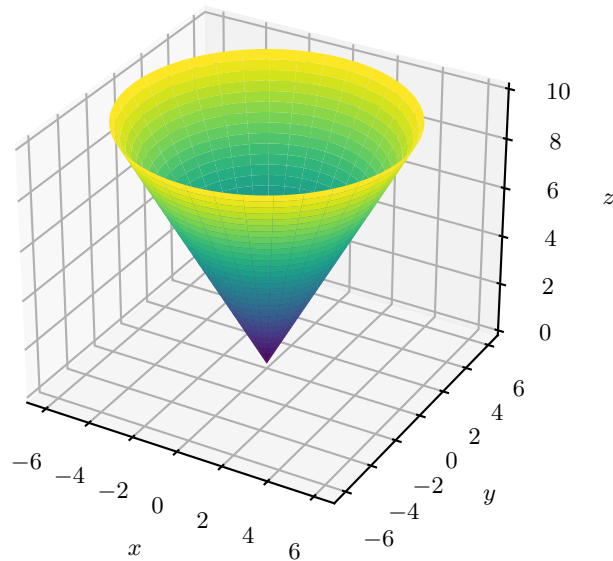
b) Wir betrachten die *parametrisierte Fläche*

$$\mathbf{P}(\varphi; r) = \begin{bmatrix} r \cdot \cos(\varphi) \\ r \cdot \sin(\varphi) \\ \frac{H}{R} \cdot r \end{bmatrix} \quad \text{für } R, H > 0; \varphi \in [0, 2\pi[; r \in [0, R]. \quad (2)$$

Wir wählen die Werte $R = 6$ und $H = 10$ und modifizieren den Code.

```
# Parameter:
R=6; H=10; u_0=0; u_E=2*np.pi; v_0=0; v_E=R;
N_u=101; N_v=31; fig=fig+1;
# Funktionen:
def P(u,v): x=v*np.cos(u); y=v*np.sin(u); z=H/R*v; return x,y,z;
```

Es wird der folgende Plot erzeugt.



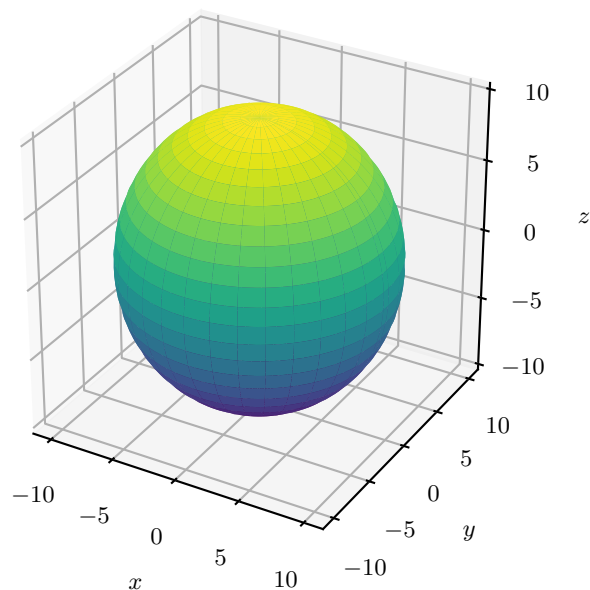
c) Wir betrachten die *parametrisierte Fläche*

$$\mathbf{P}(\theta; \varphi) = \begin{bmatrix} R \cdot \sin(\theta) \cdot \cos(\varphi) \\ R \cdot \sin(\theta) \cdot \sin(\varphi) \\ R \cdot \cos(\theta) \end{bmatrix} \quad \text{für } R > 0 \wedge \theta \in [0, \pi] \wedge \varphi \in [0, 2\pi[. \quad (3)$$

Wir wählen den Wert $R = 10$ und modifizieren den Code.

```
# Parameter:
R=10; u_0=0; u_E=np.pi; v_0=0; v_E=2*np.pi;
N_u=51; N_v=101; fig=fig+1;
# Funktionen:
def P(u,v):
    x=R*np.sin(u)*np.cos(v); y=R*np.sin(u)*np.sin(v);
    z=R*np.cos(u); return x,y,z;
```

Es wird der folgende Plot erzeugt.



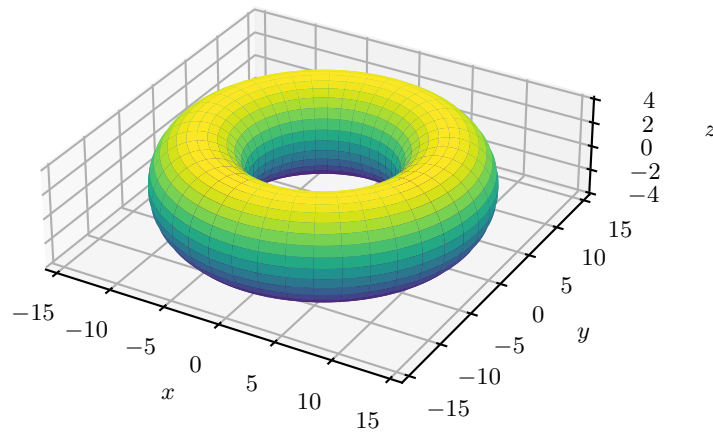
d) Wir betrachten die *parametrisierte Fläche*

$$\mathbf{P}(\theta; \varphi) = \begin{bmatrix} (R + r \cdot \sin(\theta)) \cdot \cos(\varphi) \\ (R + r \cdot \sin(\theta)) \cdot \sin(\varphi) \\ r \cdot \cos(\theta) \end{bmatrix} \quad \text{für } R > r > 0 \wedge \theta, \varphi \in [0, 2\pi[. \quad (4)$$

Wir wählen die Werte $R = 10$ und $r = 4$ und modifizieren den Code.

```
# Parameter:
R=10; r=4; u_0=0; u_E=2*np.pi; v_0=0; v_E=2*np.pi;
N_u=61; N_v=121; fig=fig+1;
# Funktionen:
def P(u,v):
    x=(R+r*np.sin(u))*np.cos(v); y=(R+r*np.sin(u))*np.sin(v);
    z=r*np.cos(u); return x,y,z;
```

Es wird der folgende Plot erzeugt.



3. Parametrisierte Flächen berechnen

Wir berechnen jeweils die *Koordinatenbasis-Vektorfelder*, den *Normalen-Vektor*, die *Metrik*, die *Mass-Funktion* und den *Flächeninhalt* der angegebenen *parametrisierten Fläche*.

a) Wir betrachten die *parametrisierte Fläche*

$$\mathbf{P}(\varphi; z) = \begin{bmatrix} R \cdot \cos(\varphi) \\ R \cdot \sin(\varphi) \\ z \end{bmatrix} \quad \text{für } R, H > 0; \varphi \in [0, 2\pi[; z \in [0, H]. \quad (5)$$

Durch *Ableiten* erhalten wir die *Koordinatenbasis-Vektorfelder*

$$\underline{\underline{\mathbf{e}_1}} = \underline{\underline{\mathbf{P}_{,\varphi}(\varphi; z)}} = \begin{bmatrix} -R \cdot \sin(\varphi) \\ +R \cdot \cos(\varphi) \\ 0 \end{bmatrix} \quad (6)$$

$$\underline{\underline{\mathbf{e}_2}} = \underline{\underline{\mathbf{P}_{,z}(\varphi; z)}} = \begin{bmatrix} 0 \\ 0 \\ 1 \end{bmatrix}. \quad (7)$$

Die *Skalar-Produkte* der *Koordinatenbasis-Vektorfelder* ergeben die *Metrik*

$$\underline{\underline{[g_{\mu\nu}]}} = \begin{bmatrix} \langle \mathbf{e}_1, \mathbf{e}_1 \rangle & \langle \mathbf{e}_1, \mathbf{e}_2 \rangle \\ \langle \mathbf{e}_2, \mathbf{e}_1 \rangle & \langle \mathbf{e}_2, \mathbf{e}_2 \rangle \end{bmatrix} = \underline{\underline{\begin{bmatrix} R^2 & 0 \\ 0 & 1 \end{bmatrix}}}. \quad (8)$$

Durch Bilden der *Determinante* finden wir die *Mass-Funktion*

$$\underline{\underline{\sqrt{g}}} = \sqrt{R^2 \cdot 1 - 0 \cdot 0} = \sqrt{R^2} = \underline{\underline{R}}. \quad (9)$$

Zunächst berechnen wir

$$\begin{aligned} \mathbf{n} = \mathbf{e}_1 \times \mathbf{e}_2 &= \begin{bmatrix} -R \cdot \sin(\varphi) \\ +R \cdot \cos(\varphi) \\ 0 \end{bmatrix} \times \begin{bmatrix} 0 \\ 0 \\ 1 \end{bmatrix} = \begin{bmatrix} R \cdot \cos(\varphi) \cdot 1 - 0 \cdot 0 \\ 0 \cdot 0 - (-R) \cdot \sin(\varphi) \cdot 1 \\ -R \cdot \sin(\varphi) \cdot 0 - R \cdot \cos(\varphi) \cdot 0 \end{bmatrix} \\ &= \begin{bmatrix} R \cdot \cos(\varphi) \\ R \cdot \sin(\varphi) \\ 0 \end{bmatrix}. \end{aligned} \quad (10)$$

Durch *Normierung* mit der *Mass-Funktion* erhalten wir den *Einheitsnormalen-Vektor*

$$\underline{\underline{\hat{\mathbf{n}}}} = \frac{1}{\sqrt{g}} \cdot \mathbf{n} = \frac{1}{R} \cdot \begin{bmatrix} R \cdot \cos(\varphi) \\ R \cdot \sin(\varphi) \\ 0 \end{bmatrix} = \underline{\underline{\begin{bmatrix} \cos(\varphi) \\ \sin(\varphi) \\ 0 \end{bmatrix}}}. \quad (11)$$

Mit Hilfe des *Mass-Integrals* erhalten wir den *Flächeninhalt*

$$\begin{aligned} \underline{\underline{A}} &= \int_M 1 \, dA = \int_U \sqrt{g} \, dU = \int_0^{2\pi} \int_0^H R \, dz \, d\varphi = R \cdot \int_0^{2\pi} 1 \, d\varphi \cdot \int_0^H 1 \, dz \\ &= R \cdot \left[\varphi \right]_0^{2\pi} \cdot \left[z \right]_0^H = R \cdot (2\pi - 0) \cdot (H - 0) = R \cdot 2\pi \cdot H = \underline{\underline{2\pi RH}}. \end{aligned} \quad (12)$$

b) Wir betrachten die *parametrisierte Fläche*

$$\mathbf{P}(\varphi; r) = \begin{bmatrix} r \cdot \cos(\varphi) \\ r \cdot \sin(\varphi) \\ \frac{H}{R} \cdot r \end{bmatrix} \quad \text{für } R, H > 0; \varphi \in [0, 2\pi[; r \in [0, R]. \quad (13)$$

Durch *Ableiten* erhalten wir die *Koordinatenbasis-Vektorfelder*

$$\underline{\underline{\mathbf{e}_1}} = \mathbf{P}_{,\varphi}(\varphi; r) = \underline{\underline{\begin{bmatrix} -r \cdot \sin(\varphi) \\ +r \cdot \cos(\varphi) \\ 0 \end{bmatrix}}} \quad (14)$$

$$\underline{\underline{\mathbf{e}_2}} = \mathbf{P}_{,r}(\varphi; r) = \underline{\underline{\begin{bmatrix} \cos(\varphi) \\ \sin(\varphi) \\ \frac{H}{R} \end{bmatrix}}}. \quad (15)$$

Die *Skalar-Produkte* der *Koordinatenbasis-Vektorfelder* ergeben die *Metrik*

$$\underline{\underline{[g_{\mu\nu}]}} = \begin{bmatrix} \langle \mathbf{e}_1, \mathbf{e}_1 \rangle & \langle \mathbf{e}_1, \mathbf{e}_2 \rangle \\ \langle \mathbf{e}_2, \mathbf{e}_1 \rangle & \langle \mathbf{e}_2, \mathbf{e}_2 \rangle \end{bmatrix} = \underline{\underline{\begin{bmatrix} r^2 & 0 \\ 0 & 1 + \frac{H^2}{R^2} \end{bmatrix}}}. \quad (16)$$

Durch Bilden der *Determinante* finden wir die *Mass-Funktion*

$$\begin{aligned} \underline{\underline{\sqrt{g}}} &= \sqrt{r^2 \cdot \left(1 + \frac{H^2}{R^2}\right) - 0 \cdot 0} = \sqrt{r^2 \cdot \left(\frac{R^2}{R^2} + \frac{H^2}{R^2}\right)} = \sqrt{\frac{r^2}{R^2} \cdot (R^2 + H^2)} \\ &= \underline{\underline{\frac{r}{R} \cdot \sqrt{R^2 + H^2}}}. \end{aligned} \quad (17)$$

Zunächst berechnen wir

$$\begin{aligned} \mathbf{n} = \mathbf{e}_1 \times \mathbf{e}_2 &= \begin{bmatrix} -r \cdot \sin(\varphi) \\ +r \cdot \cos(\varphi) \\ 0 \end{bmatrix} \times \begin{bmatrix} \cos(\varphi) \\ \sin(\varphi) \\ \frac{H}{R} \end{bmatrix} = \begin{bmatrix} r \cdot \cos(\varphi) \cdot \frac{H}{R} - 0 \cdot \sin(\varphi) \\ 0 \cdot \cos(\varphi) - (-r) \cdot \sin(\varphi) \cdot \frac{H}{R} \\ -r \cdot \sin(\varphi) \cdot \sin(\varphi) - r \cdot \cos(\varphi) \cdot \cos(\varphi) \end{bmatrix} \\ &= \begin{bmatrix} r \cdot \cos(\varphi) \cdot \frac{H}{R} \\ r \cdot \sin(\varphi) \cdot \frac{H}{R} \\ -r \end{bmatrix} = \frac{r \cdot H}{R} \cdot \begin{bmatrix} \cos(\varphi) \\ \sin(\varphi) \\ -\frac{R}{H} \end{bmatrix}. \end{aligned} \quad (18)$$

Durch *Normierung* mit der *Mass-Funktion* erhalten wir den *Einheitsnormalen-Vektor*

$$\underline{\underline{\hat{\mathbf{n}}}} = \frac{1}{\sqrt{g}} \cdot \mathbf{n} = \frac{1}{\frac{r}{R} \cdot \sqrt{R^2 + H^2}} \cdot \frac{r \cdot H}{R} \cdot \begin{bmatrix} \cos(\varphi) \\ \sin(\varphi) \\ -\frac{R}{H} \end{bmatrix} = \underline{\underline{\frac{H}{\sqrt{R^2 + H^2}} \cdot \begin{bmatrix} \cos(\varphi) \\ \sin(\varphi) \\ -\frac{R}{H} \end{bmatrix}}}. \quad (19)$$

Mit Hilfe des *Mass-Integrals* erhalten wir den *Flächeninhalt*

$$\begin{aligned} \underline{\underline{A}} &= \int_M 1 \, dA = \int_U \sqrt{g} \, dU = \int_0^{2\pi} \int_0^R \frac{r}{R} \cdot \sqrt{R^2 + H^2} \, dr \, d\varphi \\ &= \frac{\sqrt{R^2 + H^2}}{R} \cdot \int_0^{2\pi} 1 \, d\varphi \cdot \int_0^R r \, dr = \frac{\sqrt{R^2 + H^2}}{R} \cdot \left[\varphi \right]_0^{2\pi} \cdot \frac{1}{2} \cdot \left[r^2 \right]_0^R \\ &= \frac{\sqrt{R^2 + H^2}}{R} \cdot (2\pi - 0) \cdot \frac{1}{2} \cdot (R^2 - 0) = \frac{\sqrt{R^2 + H^2}}{R} \cdot 2\pi \cdot \frac{1}{2} \cdot R^2 \\ &= \underline{\underline{\pi R \sqrt{R^2 + H^2}}}. \end{aligned} \quad (20)$$

c) Wir betrachten die *parametrisierte Fläche*

$$\mathbf{P}(\theta; \varphi) = \begin{bmatrix} R \cdot \sin(\theta) \cdot \cos(\varphi) \\ R \cdot \sin(\theta) \cdot \sin(\varphi) \\ R \cdot \cos(\theta) \end{bmatrix} \quad \text{für } R > 0 \wedge \theta \in [0, \pi] \wedge \varphi \in [0, 2\pi[. \quad (21)$$

Durch *Ableiten* erhalten wir die *Koordinatenbasis-Vektorfelder*

$$\underline{\underline{\mathbf{e}_1}} = \mathbf{P}_{,\theta}(\theta; \varphi) = \underline{\underline{\begin{bmatrix} R \cdot \cos(\theta) \cdot \cos(\varphi) \\ R \cdot \cos(\theta) \cdot \sin(\varphi) \\ -R \cdot \sin(\theta) \end{bmatrix}}} \quad (22)$$

$$\underline{\underline{\mathbf{e}_2}} = \mathbf{P}_{,\varphi}(\theta; \varphi) = \begin{bmatrix} -R \cdot \sin(\theta) \cdot \sin(\varphi) \\ +R \cdot \sin(\theta) \cdot \cos(\varphi) \\ 0 \end{bmatrix}. \quad (23)$$

Die *Skalar-Produkte* der *Koordinatenbasis-Vektorfelder* ergeben die *Metrik*

$$\underline{\underline{[g_{\mu\nu}]}} = \begin{bmatrix} \langle \mathbf{e}_1, \mathbf{e}_1 \rangle & \langle \mathbf{e}_1, \mathbf{e}_2 \rangle \\ \langle \mathbf{e}_2, \mathbf{e}_1 \rangle & \langle \mathbf{e}_2, \mathbf{e}_2 \rangle \end{bmatrix} = \begin{bmatrix} R^2 & 0 \\ 0 & R^2 \cdot \sin^2(\theta) \end{bmatrix}. \quad (24)$$

Durch Bilden der *Determinante* finden wir die *Mass-Funktion*

$$\underline{\underline{\sqrt{g}}} = \sqrt{R^2 \cdot R^2 \cdot \sin^2(\theta) - 0 \cdot 0} = \sqrt{R^4 \cdot \sin^2(\theta)} = R^2 \cdot |\sin(\theta)| = \underline{\underline{R^2 \cdot \sin(\theta)}}. \quad (25)$$

Zunächst bemerken wir, dass der *Ortsvektor* $\mathbf{P}(\theta; \varphi)$ überall *senkrecht* auf der *Sphäre* steht und nach aussen zeigt. Wir wählen daher

$$\mathbf{n} = \mathbf{P}(\theta; \varphi) = \begin{bmatrix} R \cdot \sin(\theta) \cdot \cos(\varphi) \\ R \cdot \sin(\theta) \cdot \sin(\varphi) \\ R \cdot \cos(\theta) \end{bmatrix}. \quad (26)$$

Durch *Normierung* erhalten wir den *äusseren Einheitsnormalen-Vektor*

$$\underline{\underline{\hat{\mathbf{n}}}} = \frac{1}{|\mathbf{n}|} \cdot \mathbf{n} = \frac{1}{R} \cdot \begin{bmatrix} R \cdot \sin(\theta) \cdot \cos(\varphi) \\ R \cdot \sin(\theta) \cdot \sin(\varphi) \\ R \cdot \cos(\theta) \end{bmatrix} = \begin{bmatrix} \sin(\theta) \cdot \cos(\varphi) \\ \sin(\theta) \cdot \sin(\varphi) \\ \cos(\theta) \end{bmatrix}. \quad (27)$$

Mit Hilfe des *Mass-Integrals* erhalten wir den *Flächeninhalt*

$$\begin{aligned} \underline{\underline{A}} &= \oint_M 1 \, dA = \int_U \sqrt{g} \, dU = \int_0^{2\pi} \int_0^\pi R^2 \cdot \sin(\theta) \, d\theta \, d\varphi = R^2 \cdot \int_0^{2\pi} 1 \, d\varphi \cdot \int_0^\pi \sin(\theta) \, d\theta \\ &= R^2 \cdot \left[\varphi \right]_0^{2\pi} \cdot (-1) \cdot \left[\cos(\theta) \right]_0^\pi = R^2 \cdot (2\pi - 0) \cdot (-1) \cdot (\cos(\pi) - \cos(0)) \\ &= R^2 \cdot 2\pi \cdot (-1) \cdot (-1 - 1) = R^2 \cdot 2\pi \cdot 2 = \underline{\underline{4\pi R^2}}. \end{aligned} \quad (28)$$

d) Wir betrachten die *parametrisierte Fläche*

$$\mathbf{P}(\theta; \varphi) = \begin{bmatrix} (R + r \cdot \sin(\theta)) \cdot \cos(\varphi) \\ (R + r \cdot \sin(\theta)) \cdot \sin(\varphi) \\ r \cdot \cos(\theta) \end{bmatrix} \quad \text{für } R > r > 0 \wedge \theta, \varphi \in [0, 2\pi[. \quad (29)$$

Durch *Ableiten* erhalten wir die *Koordinatenbasis-Vektorfelder*

$$\underline{\underline{\mathbf{e}_1}} = \mathbf{P}_{,\theta}(\theta; \varphi) = \begin{bmatrix} (0 + r \cdot \cos(\theta)) \cdot \cos(\varphi) \\ (0 + r \cdot \cos(\theta)) \cdot \sin(\varphi) \\ -r \cdot \sin(\theta) \end{bmatrix} = \begin{bmatrix} r \cdot \cos(\theta) \cdot \cos(\varphi) \\ r \cdot \cos(\theta) \cdot \sin(\varphi) \\ -r \cdot \sin(\theta) \end{bmatrix}$$

$$= r \cdot \begin{bmatrix} \cos(\theta) \cdot \cos(\varphi) \\ \cos(\theta) \cdot \sin(\varphi) \\ -\sin(\theta) \end{bmatrix} \quad (30)$$

$$\underline{\underline{\mathbf{e}_2}} = \mathbf{P}_{,\varphi}(\theta; \varphi) = \begin{bmatrix} -(R + r \cdot \sin(\theta)) \cdot \sin(\varphi) \\ +(R + r \cdot \sin(\theta)) \cdot \cos(\varphi) \\ 0 \end{bmatrix} = \underline{\underline{(R + r \cdot \sin(\theta)) \cdot \begin{bmatrix} -\sin(\varphi) \\ \cos(\varphi) \\ 0 \end{bmatrix}}}. \quad (31)$$

Die *Skalar-Produkte* der *Koordinatenbasis-Vektorfelder* ergeben die *Metrik*

$$\underline{\underline{[g_{\mu\nu}]}} = \begin{bmatrix} \langle \mathbf{e}_1, \mathbf{e}_1 \rangle & \langle \mathbf{e}_1, \mathbf{e}_2 \rangle \\ \langle \mathbf{e}_2, \mathbf{e}_1 \rangle & \langle \mathbf{e}_2, \mathbf{e}_2 \rangle \end{bmatrix} = \underline{\underline{\begin{bmatrix} r^2 & 0 \\ 0 & (R + r \cdot \sin(\theta))^2 \end{bmatrix}}}. \quad (32)$$

Durch Bilden der *Determinante* finden wir die *Mass-Funktion*

$$\begin{aligned} \underline{\underline{\sqrt{g}}} &= \sqrt{r^2 \cdot (R + r \cdot \sin(\theta))^2 - 0 \cdot 0} = \sqrt{r^2 \cdot (R + r \cdot \sin(\theta))^2} = r \cdot (R + r \cdot \sin(\theta)) \\ &= \underline{\underline{r \cdot R + r^2 \cdot \sin(\theta)}}. \end{aligned} \quad (33)$$

Zunächst berechnen wir

$$\begin{aligned} \mathbf{n} = \mathbf{e}_1 \times \mathbf{e}_2 &= (R + r \cdot \sin(\theta)) \cdot r \cdot \begin{bmatrix} \cos(\theta) \cdot \cos(\varphi) \\ \cos(\theta) \cdot \sin(\varphi) \\ -\sin(\theta) \end{bmatrix} \times \begin{bmatrix} -\sin(\varphi) \\ \cos(\varphi) \\ 0 \end{bmatrix} \\ &= (r \cdot R + r^2 \cdot \sin(\theta)) \cdot \begin{bmatrix} \cos(\theta) \cdot \cos(\varphi) \cdot 0 + \sin(\theta) \cdot \cos(\varphi) \\ \sin(\theta) \cdot \sin(\varphi) - \cos(\theta) \cdot \cos(\varphi) \cdot 0 \\ \cos(\theta) \cdot \cos(\varphi) \cdot \cos(\varphi) + \cos(\theta) \cdot \sin(\varphi) \cdot \sin(\varphi) \end{bmatrix} \\ &= (r \cdot R + r^2 \cdot \sin(\theta)) \cdot \begin{bmatrix} \sin(\theta) \cdot \cos(\varphi) \\ \sin(\theta) \cdot \sin(\varphi) \\ (\cos^2(\varphi) + \sin^2(\varphi)) \cdot \cos(\theta) \end{bmatrix} \\ &= (r \cdot R + r^2 \cdot \sin(\theta)) \cdot \begin{bmatrix} \sin(\theta) \cdot \cos(\varphi) \\ \sin(\theta) \cdot \sin(\varphi) \\ \cos(\theta) \end{bmatrix}. \end{aligned} \quad (34)$$

Durch *Normierung* mit der *Mass-Funktion* erhalten wir den *Einheitsnormalen-Vektor*

$$\begin{aligned} \underline{\underline{\hat{\mathbf{n}}}} &= \frac{1}{\sqrt{g}} \cdot \mathbf{n} = \frac{1}{r \cdot R + r^2 \cdot \sin(\theta)} \cdot (r \cdot R + r^2 \cdot \sin(\theta)) \cdot \begin{bmatrix} \sin(\theta) \cdot \cos(\varphi) \\ \sin(\theta) \cdot \sin(\varphi) \\ \cos(\theta) \end{bmatrix} \\ &= \underline{\underline{\begin{bmatrix} \sin(\theta) \cdot \cos(\varphi) \\ \sin(\theta) \cdot \sin(\varphi) \\ \cos(\theta) \end{bmatrix}}}. \end{aligned} \quad (35)$$

Mit Hilfe des *Mass-Integrals* erhalten wir den *Flächeninhalt*

$$\begin{aligned}
 \underline{\underline{A}} &= \oint_M 1 \, dA = \int_U \sqrt{g} \, dU = \int_0^{2\pi} \int_0^{2\pi} \left(r \cdot R + r^2 \cdot \sin(\theta) \right) d\theta \, d\varphi \\
 &= \int_0^{2\pi} 1 \, d\varphi \cdot \int_0^{2\pi} \left(r \cdot R + r^2 \cdot \sin(\theta) \right) d\theta = \left[\varphi \right]_0^{2\pi} \cdot \left[r \cdot R \cdot \theta - r^2 \cdot \cos(\theta) \right]_0^{2\pi} \\
 &= (2\pi - 0) \cdot \left(r \cdot R \cdot 2\pi - r^2 \cdot \cos(2\pi) - 0 + r^2 \cdot \cos(0) \right) \\
 &= 2\pi \cdot (2\pi \cdot r \cdot R - r^2 \cdot 1 + r^2 \cdot 1) = 2\pi \cdot 2\pi \cdot r \cdot R = \underline{\underline{4\pi^2 r R}}.
 \end{aligned} \tag{36}$$

4. Aussagen über parametrisierte Flächen

Wir betrachten eine *parametrisierte Fläche* M mit *Parametrisierung* $\mathbf{P} : U \rightarrow M$, *Koordinatenbasis-Vektorfelder* \mathbf{e}_1 und \mathbf{e}_2 , *Normalen-Vektor* \mathbf{n} und *Mass-Funktion* \sqrt{g} .

Welche der folgenden Aussagen sind wahr und welche falsch?	wahr	falsch
a) In jedem Fall zeigen \mathbf{e}_1 und \mathbf{e}_2 <i>tangential</i> zu M .	●	○
b) In jedem Fall gilt $\mathbf{e}_1 \perp \mathbf{e}_2$.	○	●
c) In jedem Fall ist \mathbf{n} eine <i>Linearkombination</i> von \mathbf{e}_1 und \mathbf{e}_2 .	○	●
d) In jedem Fall gilt $\mathbf{e}_1 \perp \mathbf{n}$ und $\mathbf{e}_2 \perp \mathbf{n}$.	●	○
e) In jedem Fall gilt $\sqrt{g} = \mathbf{e}_1 \times \mathbf{e}_2 $.	●	○
f) Die <i>Metrik</i> ist genau dann <i>diagonal</i> , wenn gilt $\mathbf{e}_1 \perp \mathbf{e}_2$.	●	○

5. Aussagen über eine parametrisierte Fläche

Wir betrachten die *parametrisierte Fläche*

$$\mathbf{P}(u; v) = \begin{bmatrix} 1 + u + v \\ 2 - u + 2v \\ 3 \end{bmatrix} \quad \text{für } u \in [0, 1] \wedge v \in [0, 2]. \tag{37}$$

Welche der folgenden Aussagen sind wahr und welche falsch?	wahr	falsch
a) Es gilt $\hat{\mathbf{n}} = \hat{\mathbf{e}}_z$.	●	○
b) Die <i>Fläche</i> ist ein Rechteck.	○	●
c) Die <i>Fläche</i> ist ein <i>Parallelogramm</i> .	●	○
d) Die <i>Metrik</i> ist eine <i>diagonale Matrix</i> .	○	●
e) Weil die <i>Fläche</i> teil einer <i>Ebene</i> ist, gilt $\sqrt{g} = 1$.	○	●
f) Der <i>Flächeninhalt</i> beträgt 2.	○	●

6. Aussagen über den Fluss von Vektorfeldern

Welche der folgenden Aussagen sind wahr und welche falsch?	wahr	falsch
a) Um den <i>Fluss</i> durch eine <i>Fläche</i> zu berechnen, muss man das <i>Vektorfeld</i> im gesamten Raum kennen.	<input type="radio"/>	<input checked="" type="radio"/>
b) Verdoppelt man die <i>Länge</i> aller <i>Vektoren</i> , dann verdoppelt man auch den <i>Fluss</i> eines <i>Vektorfeldes</i> durch eine <i>Fläche</i> .	<input checked="" type="radio"/>	<input type="radio"/>
c) Steht ein <i>Vektorfeld</i> überall <i>senkrecht</i> auf dem <i>Einheitsnormalenvektor</i> einer <i>Fläche</i> , dann verschwindet der <i>Fluss</i> durch diese <i>Fläche</i> .	<input checked="" type="radio"/>	<input type="radio"/>
d) Verschwindet der <i>Fluss</i> eines <i>Vektorfeldes</i> durch eine <i>Fläche</i> , dann steht es überall <i>senkrecht</i> auf dem <i>Einheitsnormalenvektor</i> dieser <i>Fläche</i> .	<input type="radio"/>	<input checked="" type="radio"/>
e) Für jedes <i>Vektorfeld</i> verschwindet der <i>Fluss</i> durch eine <i>geschlossene Fläche</i> .	<input type="radio"/>	<input checked="" type="radio"/>
f) Für jedes <i>homogene Vektorfeld</i> verschwindet der <i>Fluss</i> durch eine <i>geschlossene Fläche</i> .	<input checked="" type="radio"/>	<input type="radio"/>

7. Berechnen von sphärischen Flüssen

Wir berechnen jeweils den *Fluss* des *Vektorfeldes* durch die *Sphäre* S mit *Mittelpunkt* am *Ursprung* und *Radius* $R = 2$. Die *Massfunktion* und der *äussere Einheitsnormalenvektor* in der üblichen *Parametrisierung* dieser *Sphäre* sind

$$\sqrt{g} = R^2 \cdot \sin(\theta) = 2^2 \cdot \sin(\theta) = 4 \cdot \sin(\theta) \quad \text{bzw.} \quad \hat{\mathbf{n}} = \begin{bmatrix} \sin(\theta) \cdot \cos(\varphi) \\ \sin(\theta) \cdot \sin(\varphi) \\ \cos(\theta) \end{bmatrix}. \quad (38)$$

a) Wir betrachten entlang der *Sphäre* S das *Vektorfeld*

$$\mathbf{v}(x; y; z) = \begin{bmatrix} 0 \\ 0 \\ 3 \end{bmatrix} \Rightarrow \mathbf{v}(\theta; \varphi) = \begin{bmatrix} 0 \\ 0 \\ 3 \end{bmatrix}. \quad (39)$$

Es gilt

$$\begin{aligned} \langle \mathbf{v}, \hat{\mathbf{n}} \rangle &= \left\langle \begin{bmatrix} 0 \\ 0 \\ 3 \end{bmatrix}, \begin{bmatrix} \sin(\theta) \cdot \cos(\varphi) \\ \sin(\theta) \cdot \sin(\varphi) \\ \cos(\theta) \end{bmatrix} \right\rangle = 0 \cdot \sin(\theta) \cdot \cos(\varphi) + 0 \cdot \sin(\theta) \cdot \sin(\varphi) + 3 \cdot \cos(\theta) \\ &= 0 + 0 + 3 \cdot \cos(\theta) = 3 \cos(\theta). \end{aligned} \quad (40)$$

Für den *Fluss* des *Vektorfeldes* durch die *Sphäre* S erhalten wir daraus

$$\begin{aligned} \underline{\underline{\Phi_{\mathbf{v}}}} &= \oint_S \langle \mathbf{v}, \hat{\mathbf{n}} \rangle \, dA = \int_U \langle \mathbf{v}, \hat{\mathbf{n}} \rangle \sqrt{g} \, dU = \int_0^{2\pi} \int_0^\pi 3 \cdot \cos(\theta) \cdot 4 \cdot \sin(\theta) \, d\theta \, d\varphi \\ &= 3 \cdot 4 \cdot \int_0^{2\pi} \int_0^\pi \frac{1}{2} \cdot 2 \cdot \sin(\theta) \cdot \cos(\theta) \, d\theta \, d\varphi = \frac{3 \cdot 4}{2} \cdot \int_0^{2\pi} 1 \, d\varphi \cdot \int_0^\pi \sin(2\theta) \, d\theta \\ &= 6 \cdot \left[\varphi \right]_0^{2\pi} \cdot \frac{1}{2} \cdot \left[-\cos(2\theta) \right]_0^\pi = 3 \cdot (2\pi - 0) \cdot \left(-\cos(2\pi) + \cos(0) \right) \\ &= 3 \cdot 2\pi \cdot (-1 + 1) = 6\pi \cdot 0 = \underline{\underline{0}}. \end{aligned} \quad (41)$$

b) Wir betrachten entlang der *Sphäre* S das *Vektorfeld*

$$\mathbf{v}(x; y; z) = \begin{bmatrix} x \\ y \\ z \end{bmatrix} \Rightarrow \mathbf{v}(\theta; \varphi) = \begin{bmatrix} R \cdot \sin(\theta) \cdot \cos(\varphi) \\ R \cdot \sin(\theta) \cdot \sin(\varphi) \\ R \cdot \cos(\theta) \end{bmatrix} = R \cdot \hat{\mathbf{n}} = 2 \cdot \hat{\mathbf{n}}. \quad (42)$$

Es gilt

$$\langle \mathbf{v}, \hat{\mathbf{n}} \rangle = \langle 2 \cdot \hat{\mathbf{n}}, \hat{\mathbf{n}} \rangle = 2 \cdot \langle \hat{\mathbf{n}}, \hat{\mathbf{n}} \rangle = 2 \cdot 1 = 2. \quad (43)$$

Für den *Fluss* des *Vektorfeldes* durch die *Sphäre* S erhalten wir daraus

$$\underline{\underline{\Phi_{\mathbf{v}}}} = \oint_S \langle \mathbf{v}, \hat{\mathbf{n}} \rangle \, dA = \oint_S 2 \, dA = 2 \cdot \oint_S 1 \, dA = 2 \cdot A = 2 \cdot 4\pi \cdot R^2 = 8 \cdot \pi \cdot 2^2 = \underline{\underline{32\pi}}. \quad (44)$$

c) Wir betrachten entlang der *Sphäre* S das *Vektorfeld*

$$\mathbf{v}(x; y; z) = \begin{bmatrix} -y \\ x \\ 0 \end{bmatrix} \Rightarrow \mathbf{v}(\theta; \varphi) = \begin{bmatrix} -R \cdot \sin(\theta) \cdot \sin(\varphi) \\ R \cdot \sin(\theta) \cdot \cos(\varphi) \\ 0 \end{bmatrix} = \begin{bmatrix} -2 \cdot \sin(\theta) \cdot \sin(\varphi) \\ 2 \cdot \sin(\theta) \cdot \cos(\varphi) \\ 0 \end{bmatrix}. \quad (45)$$

Es gilt

$$\begin{aligned} \langle \mathbf{v}, \hat{\mathbf{n}} \rangle &= \left\langle \begin{bmatrix} -2 \cdot \sin(\theta) \cdot \sin(\varphi) \\ 2 \cdot \sin(\theta) \cdot \cos(\varphi) \\ 0 \end{bmatrix}, \begin{bmatrix} \sin(\theta) \cdot \cos(\varphi) \\ \sin(\theta) \cdot \sin(\varphi) \\ \cos(\theta) \end{bmatrix} \right\rangle \\ &= -2 \cdot \sin(\theta) \cdot \sin(\varphi) \cdot \sin(\theta) \cdot \cos(\varphi) + 2 \cdot \sin(\theta) \cdot \cos(\varphi) \cdot \sin(\theta) \cdot \sin(\varphi) + 0 \cdot \cos(\theta) \\ &= 0 + 0 = 0. \end{aligned} \quad (46)$$

Für den *Fluss* des *Vektorfeldes* durch die *Sphäre* S erhalten wir daraus

$$\underline{\underline{\Phi_{\mathbf{v}}}} = \oint_S \langle \mathbf{v}, \hat{\mathbf{n}} \rangle \, dA = \oint_S 0 \, dA = \underline{\underline{0}}. \quad (47)$$

8. Konstante Flüsse durch Zylinder und Sphären

Wir bearbeiten die folgenden Teilaufgaben.

a) Es sei $r = \sqrt{x^2 + y^2}$. Wir betrachten entlang der *Zylinder-Mantelfläche* Z mit der z -Achse als *Symmetrieachse*, *Radius* $R > 0$ und *Höhe* $H > 0$ das *Vektorfeld*

$$\mathbf{v}(x; y; z) = \frac{f(r)}{r} \cdot \begin{bmatrix} x \\ y \\ 0 \end{bmatrix} \Rightarrow \mathbf{v}(\varphi; z) = \frac{f(R)}{R} \cdot \begin{bmatrix} R \cdot \cos(\varphi) \\ R \cdot \sin(\varphi) \\ 0 \end{bmatrix} = f(R) \cdot \hat{\mathbf{n}}. \quad (48)$$

Es gilt

$$\langle \mathbf{v}, \hat{\mathbf{n}} \rangle = \langle f(R) \cdot \hat{\mathbf{n}}, \hat{\mathbf{n}} \rangle = f(R) \cdot \langle \hat{\mathbf{n}}, \hat{\mathbf{n}} \rangle = f(R) \cdot 1 = f(R). \quad (49)$$

Für den *Fluss* des *Vektorfeldes* durch die *Zylinder-Mantelfläche* Z erhalten wir daraus

$$\underline{\underline{\Phi_{\mathbf{v}}(R)}} = \int_Z \langle \mathbf{v}, \hat{\mathbf{n}} \rangle \, dA = \int_Z f(R) \, dA = f(R) \int_Z 1 \, dA = f(R) \cdot A = \underline{\underline{f(R) \cdot 2\pi RH}}. \quad (50)$$

- b)** Wenn der *Fluss* aus Teilaufgabe a) nicht vom *Radius* R des *Zylinders* abhängen soll, dann gibt es eine *Konstante* $C \in \mathbb{R}$, so dass gilt

$$C = \Phi_{\mathbf{v}}(R) = f(R) \cdot 2\pi RH \quad \Big| : (2\pi RH) \quad (51)$$

$$\Leftrightarrow \quad \frac{C}{2\pi RH} = f(R). \quad (52)$$

Die *Funktion* $f(r)$ muss in diesem Fall von der Form

$$\underline{\underline{f(r) = \frac{C}{2\pi Hr} \sim \frac{1}{r}}} \quad (53)$$

sein, d.h. sie fällt mit dem *Kehrwert* der *Zylinder-Mantelfläche* mit *Radius* r ab.

- c)** Es sei $r = \sqrt{x^2 + y^2 + z^2}$. Wir betrachten entlang der *Sphäre* S mit *Mittelpunkt* am *Ursprung* und *Radius* $R > 0$ das *Vektorfeld*

$$\mathbf{w}(x; y; z) = \frac{g(r)}{r} \cdot \begin{bmatrix} x \\ y \\ z \end{bmatrix} \Rightarrow \mathbf{w}(\theta; \varphi) = \frac{g(R)}{R} \cdot \begin{bmatrix} R \cdot \sin(\theta) \cdot \cos(\varphi) \\ R \cdot \sin(\theta) \cdot \sin(\varphi) \\ R \cdot \cos(\theta) \end{bmatrix} = g(R) \cdot \hat{\mathbf{n}}. \quad (54)$$

Es gilt

$$\langle \mathbf{w}, \hat{\mathbf{n}} \rangle = \langle g(R) \cdot \hat{\mathbf{n}}, \hat{\mathbf{n}} \rangle = g(R) \cdot \langle \hat{\mathbf{n}}, \hat{\mathbf{n}} \rangle = g(R) \cdot 1 = g(R). \quad (55)$$

Für den *Fluss* des *Vektorfeldes* durch die *Sphäre* S erhalten wir daraus

$$\underline{\underline{\Phi_{\mathbf{w}}(R) = \oint_S \langle \mathbf{w}, \hat{\mathbf{n}} \rangle \, dA = \oint_S g(R) \, dA = g(R) \oint_S 1 \, dA = g(R) \cdot A = \underline{\underline{g(R) \cdot 4\pi R^2}}}} \quad (56)$$

- d)** Wenn der *Fluss* aus Teilaufgabe c) nicht vom *Radius* R der *Sphäre* abhängen soll, dann gibt es eine *Konstante* $C \in \mathbb{R}$, so dass gilt

$$C = \Phi_{\mathbf{w}}(R) = g(R) \cdot 4\pi R^2 \quad \Big| : (4\pi R^2) \quad (57)$$

$$\Leftrightarrow \quad \frac{C}{4\pi R^2} = g(R). \quad (58)$$

Die *Funktion* $g(r)$ muss in diesem Fall von der Form

$$\underline{\underline{g(r) = \frac{C}{4\pi r^2} \sim \frac{1}{r^2}}} \quad (59)$$

sein, d.h. sie fällt mit dem *Kehrwert* der *Fläche* der *Sphäre* mit *Radius* r ab.